

УДК 541(64+18):532.1

**ВЛИЯНИЕ ГИДРОСТАТИЧЕСКОГО СЖАТИЯ  
НА КОНЦЕНТРАЦИОННЫЕ ЭФФЕКТЫ  
ПРИ ОБРАТНОЙ СЕДИМЕНТАЦИИ В УЛЬТРАЦЕНТРИФУГЕ**

*B. C. Сказка, Г. В. Тарасова*

Обнаружено и исследовано различие в концентрационной зависимости седиментации и «флотации» в растворах ПС. Исследовано поведение растворов фракций ПС различного молекулярного веса (до  $16 \cdot 10^6$ ), различающихся по значению термодинамического взаимодействия полимер – растворитель. Показано, что обнаруженное различие существенно в растворителях плохого термодинамического качества для ПС и исчезает в хороших растворителях. Разница в концентрационных зависимостях седиментации и флотации связана с уменьшением размеров молекул ПС под воздействием большого гидростатического давления у дна кюветы.

Систематические исследования седиментации растворенных макромолекул показали, что концентрационная зависимость константы седиментации  $S$  подчиняется уравнению [1]

$$\frac{1}{S} = \frac{1}{S_0} (1 + k_s c) = \frac{1}{S_0} (1 + \gamma [\eta] c), \quad (1)$$

где  $S_0$  – константа седиментации при концентрации раствора  $c=0$ ;  $k_s$  и  $\gamma = k_s / [\eta]$  – константы,  $[\eta]$  – характеристическая вязкость.

Несложные теоретические расчеты показывают, что для гибких макромолекул, имеющих в растворе конформацию непротекаемого гауссова клубка,  $\gamma \approx 1,7$  и не зависит от молекулярного веса [2]. Это значение  $\gamma$  было экспериментально подтверждено при изучении седиментации большого числа полимерных молекул в сравнительно широком диапазоне молекулярных весов (до  $M \sim 3 \cdot 10^6$ ). Однако эксперименты последних лет показали, что величина  $\gamma$  для гибкоцепных молекул падает с ростом  $M$  [3, 4], а с увеличением жесткости макромолекулы, уменьшаясь по абсолютной величине, становится возрастающей функцией молекулярного веса [5]. Последнее обстоятельство связано с изменением гидродинамического взаимодействия в макромолекулярных клубках.

Обратная седиментация («флотация») макромолекул в растворе практически не являлась объектом специального исследования. С целью детального изучения поведения макромолекул в этом случае нами проведены систематические исследования флотации\* фракций ПС в различных растворителях. Для сравнения с этими же фракциями ПС были проведены и эксперименты по седиментации.

Молекулярные веса фракций ПС определяли по светорассеянию растворов в толуоле на круговом фотоэлектрическом нефелометре при длине волны  $\lambda = 436 \text{ нм}$  методом двойной экстраполяции Зимма [1]. Характеристические вязкости растворов фракций ПС определяли с помощью вискозиметра Оствальда и для высокомолекулярных фракций – на ротационном вискозиметре типа Зимма [6] с экстраполяцией

\* Под флотацией в настоящей работе понимается движение макромолекулы в направлении, противоположном направлению центробежного поля, т. е. ее всplывание в кювете ультрацентрифуги.

данных на нулевые градиенты скорости сдвига. Седиментацию и флотацию фракций ПС изучали на венгерской ультрапентрифуге МОМ-Г-100, оснащенной поляризационно-интерферометрической оптикой [1], при скорости вращения ротора 50 000 об/мин и комнатной температуре (для растворов ПС в циклогексане (ЦГ) при 35°). Использовавшиеся растворители и некоторые их физические характеристики приведены в табл. 1. Растворители расположены в ряд по мере ухудшения их качества. За меру качества растворителя выбрана величина исключенного объема теории Штокмайера – Фиксмана  $B$  [7]

$$\frac{[\eta]}{\sqrt{M}} = K_\theta + 0,51B\Phi_\theta M^{0.5}, \quad (2)$$

где  $K_\theta$  – константа, характеризующая невозмущенные размеры макромолекулы,  $\Phi_\theta$  – константа Флори в  $\theta$ -условиях. Значения  $B$  приведены в табл. 1.

Таблица 1

**Физические характеристики растворителей**

Процесс	Растворитель	$\rho_0, \text{г/см}^3$	$B \cdot 10^{27}$	$p_d, \text{ам}$
Флотация	Хлороформ	1,48	1,6	430
	ДХЭ	1,25	1,1	360
	ЭХГ	1,18	0,4	340
	$\theta$ -смесь	1,16	0	340
Седимента- ция	Толуол	0,89	1,5	–
	ДМФ	0,95	0,3	–
	ЦГ, 35°	0,76	0	–

В качестве  $\theta$ -растворителя для флотации использовали смесь эпихлоргидрина (ЭХГ) ( $\rho_0=1,18 \text{ г/см}^3$ ) и диметилмалеата (ДММ) ( $\rho_0=1,15 \text{ г/см}^3$ ) в весовом соотношении 1,3:1,0 при 21°. Малая разница в плотностях компонентов смеси практически исключала образование за время эксперимента градиента плотности в седиментационной кювете и влияние избирательной адсорбции на получаемые результаты.

При проведении экспериментов в тяжелых растворителях следует принимать во внимание возможное влияние на величину  $S$  гидростатического давления  $p$ , которое у дна кюветы  $p_d$  может быть значительным (табл. 1):

$$p_d \approx \frac{\rho_0 \omega^2}{2} (x_d^2 - x_0^2), \quad (3)$$

где  $\rho_0$  – плотность растворителя,  $\omega$  – угловая скорость вращения ротора,  $x_d$  и  $x_0$  – координаты дна кюветы и мениска соответственно.

Гидростатическое давление изменяет константу седиментации полимера согласно уравнению [1]

$$S_p = S_{p=1} [1 - kp], \quad (4)$$

где константа  $k$  зависит от давления, вязкости и плотности растворителя, а также парциального удельного объема растворенного вещества  $\bar{v}$ . Если считать, что зависимость  $\bar{v}$  от  $p$  мала и ее можно не учитывать, то можно показать, что при флотации полимера изменение величины  $S$  с  $p$  невелико, поскольку одновременное увеличение плотности (воздрастание  $S$ ) и вязкости растворителя (убывание  $S$ ) с давлением приводит к существенной компенсации этих двух эффектов, влияющих на флотацию. Поэтому учет гидростатического давления нами не производился.

В качестве примера на рис. 1 и 2 приведены соответственно зависимости логарифма положения движущейся границы раствор – растворитель  $\Delta \lg x$  при флотации фракции 3 ПС в хлороформе от времени центрифугирования  $\Delta t$  (от момента первого снимка) и концентрационная зависимость величины  $1/S$  для всех изученных фракций ПС в  $\theta$ -смеси. Аналогичные прямые были получены для всех других фракций и растворителей.

Ниже приведены  $\bar{M}_w$  изученных фракций ПС.

Фракция, №	1	2	3	4
$\bar{M}_w \cdot 10^{-6}$	0,5	5,0	13,3	16,0

Рассмотрим данные, относящиеся к седиментации и флотации в  $\theta$ -условиях (табл. 2). На рис. 3 приведена зависимость величины  $k$ , от  $M^{0.5}$  для ЦГ и  $\theta$ -смеси. Согласно существующим теориям [8, 9], эта зависимость

должна изображаться прямой линией, проходящей через начало координат. Из рис. 3 видно, что при седиментации в ЦГ эксперимент подтверждает теоретические предсказания. При этом абсолютные значения  $k_s$  согласуются с данными [8, 10]. Зависимость величины  $k_s$  от  $M^{0.5}$  при флотации в  $\theta$ -условиях оказалась более сильной, чем в случае седиментации, особенно при больших молекулярных весах. Нам представляется, что различная зависимость  $k_s$  от  $M^{0.5}$  при седиментации и флотации может объясняться уменьшением размеров макромолекулы, обусловленным большим  $p_d$ . Уменьшение размеров макромолекул с давлением уже отмечалось в литературе по

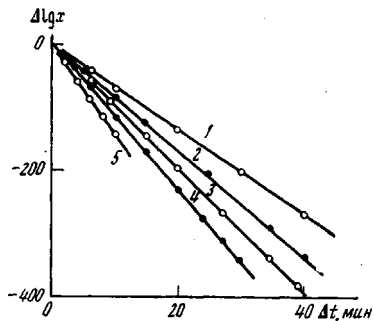


Рис. 1

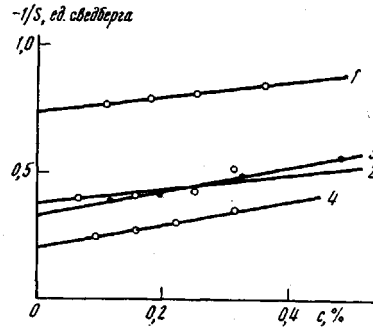


Рис. 2

Рис. 1. Зависимость  $\Delta \lg x$  от  $\Delta t$  для фракций 3 ПС в хлороформе при концентрациях 0,2 (1); 0,14 (2); 0,1 (3); 0,07 (4) и 0,04% (5)

Рис. 2. Зависимость  $1/S$  от концентрации с фракций ПС в  $\theta$ -смеси. Цифры у прямых — номера фракций в табл. 2

измерениям светорассеяния в растворах [11]. Если предположить, по данным работы [11], что с увеличением давления размеры макромолекулы линейно уменьшаются, то

$$(\bar{h}^2)_p^{0.5} = (\bar{h}^2)_{p=1}^{0.5} [1 - k(M, \alpha)p], \quad (5)$$

где  $k(M, \alpha)$  — некоторая возрастающая функция молекулярного веса, не зависящая от  $p$ . Из дальнейшего изложения будет видно, что  $k(M, \alpha) \rightarrow 0$  при увеличении коэффициента набухания макромолекулы  $\alpha$ . Соответственно для расстояний между  $i$ -м и  $j$ -м элементами трения в макромолекуле должно быть справедливо соотношение

$$(r_{ij})_p = (r_{ij})_{p=1} [1 - k(M, \alpha)p] \quad (6)$$

В теории Имаи [9] при вычислении  $k_s$  в  $\theta$ -условиях производится усреднение величины  $1/r_{ij}$  по всем возможным конформациям гауссова клубка с учетом зависимости функции распределения для  $r_{ij}$  от концентрации раствора  $c$ . Если учесть также зависимость  $1/r_{ij}$  от  $p$  с помощью формулы (6), то мы в первом приближении получим

$$k_s \sim \frac{M^{0.5}}{1 - k(M, \alpha)p} \quad (7)$$

Таким образом, при седиментации ( $p$  малое)  $k_s \approx M^{0.5}$  при флотации  $k_s$  должно возрастать быстрее, чем  $M^{0.5}$ , что и получено экспериментально. Еще более заметна разница между седиментацией и флотацией, если рассмотреть зависимость  $\gamma$  от молекулярного веса (рис. 4). Цифрами 1 и 2 обозначены экспериментальные графики для седиментации и флотации в  $\theta$ -условиях соответственно. При флотации  $\gamma$  является возрастающей функцией молекулярного веса. Это, согласно изложенному, может быть следствием уменьшения размеров макромолекулы, обусловленного большим гид-

гидростатическим давлением у дна кюветы. В то же время, при седиментации, где  $k_s$  и  $[\eta]$  пропорциональны  $M^{0.5}$ ,  $\gamma$  не зависит от молекулярного веса.

На этом же рис. 4 (кривые 3 и 4) обозначены зависимости  $\gamma$  от  $M^{0.5}$  для седиментации в толуоле, который является хорошим растворителем (табл. 1), и в ДМФ — значительно худшим по качеству растворителем для ПС. Уменьшение  $\gamma$  с ростом  $M$ , наблюдавшееся в настоящей работе, уже неоднократно получало экспериментальное подтверждение [2—4] и может быть объяснено влиянием термодинамических взаимодействий в изученных системах [3, 12, 13]. С увеличением молекулярного веса  $\gamma$  приближается к

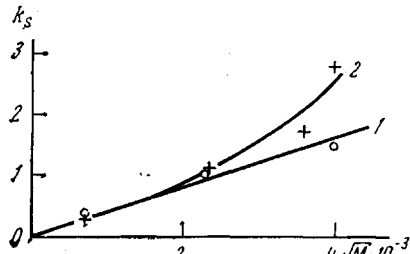


Рис. 3

Рис. 3. Зависимость  $k_s$  от  $\sqrt{M}$  для фракций ПС в  $\theta$ -условиях: 1 — седиментация в ЦГ; 2 — флотация в  $\theta$ -смеси

Рис. 4. Зависимость  $\gamma$  от  $\sqrt{M}$  для исследованных систем ПС — растворитель (пояснения см. текст)

Рис. 5. Зависимость  $k_s$  от  $\sqrt{M}(\alpha_n - 1/\alpha_n)$  для растворов ПС в толуоле (1, 1'), ЭХГ (2), ДХЭ (3) и хлороформе (4). 1' — данные работы [3]

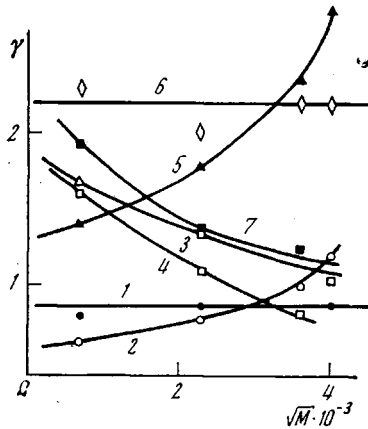


Рис. 4

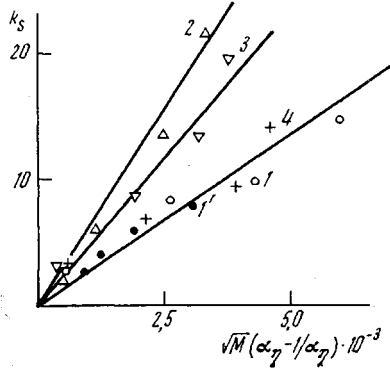


Рис. 5

значениям в  $\theta$ -точке. При этом, чем хуже растворитель (ДМФ в сравнении с толуолом), тем быстрее происходит уменьшение  $\gamma$ .

Цифрами 5—7 на рис. 4 обозначены зависимости  $\gamma$  от  $M^{0.5}$  при флотации фракций ПС в последовательно улучшающихся растворителях — ЭХГ, дихлорэтане (ДХЭ) и хлороформе. Видно, что  $\gamma$  растет с ростом  $M$  в плохом растворителе (ЭХГ), практически постоянна в ДХЭ и уменьшается в хлороформе. Таким образом, можно полагать, что уменьшение размеров макромолекулы при флотации за счет гидростатического давления, определяемое формулой (3), заметно компенсируется влиянием объемных эффектов. Это означает, что функция  $k(M, \alpha)$  должна убывать с ростом объемных эффектов, что уже отмечалось выше. При больших объемных эффектах (хлороформ) влияние гидростатического давления на размеры макромолекулы становится исчезающе малым, и зависимость  $\gamma$  от  $M$  при флотации и седиментации совпадает.

На рис. 5, согласно теории Имаи [13], представлена зависимость величины  $k_s$  от  $M^{0.5}(\alpha_n - 1/\alpha_n)$ , где  $\alpha_n = ([\eta]/[\eta]_0)^{1/2}$  — вязкостный коэффициент набухания макромолекулы,  $[\eta]_0$  — характеристическая вязкость в идеальном растворителе. Цифрами 1, 2 и 3 на рис. 5 обозначены точки, относящиеся к тяжелым ( $\rho_0 > \rho_n$ ) последовательно улучшающимся растворите-

Таблица 2

**Экспериментальные данные по флотации и седиментации для изученных  
фракций ПС**

Растворитель	[η], дЛ/г				$S_0 \cdot 10^{13}$				$k_s$				$\gamma$			
	фракция, №				фракция, №				фракция, №				фракция, №			
	1	2	3	4	1	2	3	4	1	2	3	4	1	2	3	4
θ-смесь *	0,52	1,26	1,66	2,30	-4,35	-2,63	-3,03	-5,26	0,36	0,97	1,68	2,78	0,62	0,78	1,01	1,21
ЭХГ *	1,03	2,60	3,00	7,70	-1,97	-3,85	-7,15	-11,10	1,45	4,60	11,80	21,70	1,41	1,77	2,36	2,82
ДХЭ *	1,28	4,40	6,00	9,00	-4,26	-8,35	-13,30	-16,70	2,92	8,80	13,30	19,60	2,30	2,00	2,20	2,20
Хлороформ *	1,74	5,10	7,60	12,00	-12,30	-20,80	-27,40	-33,3	3,30	6,90	9,50	14,20	1,92	1,36	1,25	1,18
ЦГ (35°) **	0,50	1,20	1,50	1,70	11,50	24,40	-	50,00	0,40	1,04	-	1,50	0,80	0,87	-	0,88
ДМФ **	0,64	1,55	2,30	-	3,60	6,70	7,70	-	1,03	1,67	1,90	-	1,61	1,08	0,83	-
Толуол **	1,63	6,25	8,00	14,40	7,30	15,20	18,50	25,00	2,70	8,40	10,00	14,90	1,66	1,34	1,25	1,03

\* Флотация. \*\* Седиментация.

лям (флотация в ЭХГ, ДХЭ и хлороформе). Цифрой 4 обозначены точки, соответствующие седиментации в толуоле. Из рисунка видно, что зависимость  $k_s$  от  $M^{0.5}(\alpha_n - 1/\alpha_n)$  при флотации приближается к таковой при седиментации с увеличением объемных эффектов в исследуемой системе. Для толуола и хлороформа (максимальные и почти равные объемные эффекты (табл. 1)) эти зависимости практически совпадают.

Таким образом, зависимость  $\gamma$  от  $M$  оказывается различной при седиментации и флотации. Эта разница нивелируется при улучшении качества растворителя и может быть связана с уменьшением размеров молекул ПС при флотации под воздействием большого гидростатического давления  $p_d$ . Если это так, то можно ожидать сближения зависимости  $\gamma(M)$  в случае седиментации и флотации в плохих растворителях при уменьшении  $p$ . Выяснение этого обстоятельства является объектом специального исследования.

Следует отметить, что с увеличением  $p$ , как правило, термодинамическое качество растворителя ухудшается. Поэтому в явлениях вязкости и флотации молекула ПС оказывается в несколько разных термодинамических условиях, что, естественно, может отражаться на величине  $\gamma(M)$ . Однако известно, что при седиментации с ухудшением качества растворителя абсолютное значение  $k_s$  и, следовательно,  $\gamma$  падает [8], в противоположность тому, что получено нами при флотации. Поэтому мы полагаем, что основную роль в обнаруженному эффекте играет уменьшение размеров молекул ПС с ростом  $p$ . Ухудшение термодинамических параметров системы при флотации, если и влияет на зависимость  $\gamma(M)$ , то, по-видимому, во-первых, незначительно и, во-вторых, в сторону уменьшения  $\gamma$ .

Молекула ПС в растворе имеет конформацию непротекаемого гауссова клубка и характеризуется величиной сегмента Кунда  $A=20 \text{ \AA}$ , эффективным диаметром  $d=5 \text{ \AA}$  и их отношением  $\kappa=A/d\approx 4$  [1, 5]. Описанные выше эксперименты показывают роль гидродинамических и термодинамических факторов в поступательном движении макромолекулярных клубков с большим гидродинамическим взаимодействием. Величина  $\gamma(M)$  отражает изменение гидродинамического взаимодействия в макромолекулярных клубках лишь при  $\kappa \gg 4$  и в условиях, когда объемные эффекты пренебрежимо малы [5]. Поэтому нам представляется совершенно неправильным применение выводов работы [5] к оценке протекаемости полиимидов [14] по виду функции  $\gamma(M)$  без определения конформационных характеристик изученных макромолекул, в частности, величины  $\kappa$ . Кроме того, большие объемные эффекты в системе, исследованной в работе [14], по-видимому, полностью подавляют влияние протекаемости молекул полиимидов на  $\gamma(M)$ . Сам же факт обнаружения величины  $\gamma \approx 5-6$ , особенно при  $M \sim 10^5$  и ниже, чрезвычайно интересен, но требует весьма пристального внимания и тщательного изучения. Отметим, что наибольшее из известных нам до сих пор полученное значение  $\gamma \approx 2.8$  (для привитых сополимеров стиролметилметакрилат) [15].

Физический институт  
Ленинградского государственного  
университета им. А. А. Жданова

Поступила в редакцию  
8 VII 1974

#### ЛИТЕРАТУРА

1. В. Н. Цветков, В. Е. Эскин, С. Я. Френкель, Структура макромолекул в растворах, «Наука», 1964.
2. M. Wales, K. E. van Holde, J. Polymer Sci., 14, 81, 1954.
3. В. С. Сказка, Г. В. Тарасова, В. М. Ямщиков, Вестник ЛГУ, 16, 69, 1973.
4. H. Lütje, G. Meyerhoff, Makromolek. Chem., 68, 180, 1963.
5. В. С. Сказка, В. М. Ямщиков, Высокомолек. соед., A15, 213, 1973.
6. B. Zimm, D. Crothers, Proc. Nat. Acad. Sci. USA, 48, 905, 1962.
7. W. H. Stockmayer, M. Fixman, J. Polymer Sci., C1, 137, 1964.
8. C. W. Pyin, M. Fixman, J. Chem. Phys., 41, 937, 1964.
9. S. Jmai, J. Chem. Phys., 52, 4212, 1970.
10. T. Kotaka, N. Donkai, J. Polymer Sci., 6, A-2, 1457, 1968.
11. M. Lechner, G. V. Schulz, Europ. Polymer J., 6, 945, 1970.
12. V. Petrus, J. Danihel, M. Bohdanecky, Europ. Polymer J., 7, 143, 1971.
13. S. Jmai, J. Chem. Phys. 50, 2116, 1969.
14. Е. Д. Молодцова, Г. И. Тимофеева, Высокомолек. соед., A16, 1163, 1974.
15. А. Н. Черкасов, Т. Н. Осипова, С. И. Кленин, Высокомолек. соед., A10, 1347, 1968.